

УДК 547.833.6 + 547.856.1

## 33\*. СРАВНЕНИЕ СПЕКТРАЛЬНЫХ ХАРАКТЕРИСТИК ПОЗИЦИОННЫХ ИЗОМЕРОВ: 4Н-ТИЕНО[3',2':5,6]ПИРИМИДО[1,2-*b*]ИЗОХИНОЛИН-4,11(5Н)-ДИОНОВ С 4Н-ТИЕНО[2',3':5,6]ПИРИМИДО[1,2-*b*]ИЗОХИНОЛИН-4,11(5Н)-ДИОНАМИ

А.В.Задорожный, В.А.Ковтуненко, А.А.Винийчук, А.Д.Качковский\*

Киевский национальный университет им. Тараса Шевченко,  
01033, г. Киев, ул. Владимирская, 62. E-mail: vkovtunenko@univ.kiev.ua; shura\_zd@ukr.net

\* Институт органической химии НАН Украины

**Ключевые слова:** позиционные изомеры; 4Н-тиено[3',2':5,6]пиримидо[1,2-*b*]изохинолин-4,11(5Н)-дионы;  
4Н-тиено[2',3':5,6]пиримидо[1,2-*b*]изохинолин-4,11(5Н)-дионы; спектры ЯМР; ИК-спектры;  
электронные спектры; квантовомеханические расчеты

**Произведено сравнение спектральных характеристик производных 4Н-тиено[3',2':5,6]- и 4Н-тиено[2',3':5,6]пиримидо[1,2-*b*]изохинолинов с 6,12-дигидро-5Н-изохино[2,3-*a*]хина-золин-5,12-дионом. На основе квантовомеханических расчётов дана интерпретация электронных спектров позиционных изомеров.**

**THE COMPARISON OF THE SPECTRAL CHARACTERISTICS OF POSITION ISOMERS OF 4H-TIENO[3',2':5,6]PYRIMIDO[1,2-*b*]ISOQUINOLINES-4,11(5H)-DIONES WITH 4H-TIENO[2',3':5,6]PYRIMIDO[1,2-*b*]ISOQUINOLINES-4,11(5H)-DIONES**

**A.V.Zadorozny, V.A.Kovtunenko, A.A.Viniychuk, A.D.Kachkovsky**

**The comparison of the spectral characteristic of 4H-thieno[3',2':5,6]- and 4H-thieno [2',3':5,6] pyrimido[1,2-*b*]isoquinolines with 6,12-dihydro-5H-isoquino[2,3-*a*]quinizoline-5,12-dione has been performed. The interpretation of electronic spectra of the position isomers has been given based of the quantum-chemical calculations.**

**ПОРІВНЯННЯ СПЕКТРАЛЬНИХ ХАРАКТЕРИСТИК ПОЗИЦІЙНИХ ІЗОМЕРІВ: 4Н-ТИЕНО[3',2':5,6]ПИРИМІДО[1,2-*b*]ІЗОХІНОЛІН-4,11(5Н)-ДІОНІВ З 4Н-ТИЕНО[2',3':5,6]ПИРИМІДО[1,2-*b*]ІЗОХІНОЛІН-4,11(5Н)-ДІОНAMI**

**А.В.Задорожний, В.А.Ковтуненко, А.А.Вінійчук, О.Д.Качковський**

**Виконано порівняння спектральних характеристик похідних 4Н-тієно[3',2':5,6]- та -[2',3':5,6]пиримідо[1,2-*b*]ізохінолінів і 6,12-дигідро-5Н-ізохіно[2,3-*a*]хіназолін-5,12-діону. На основі квантовомеханічних розрахунків дана інтерпретація електронних спектрів позиційних ізомерів.**

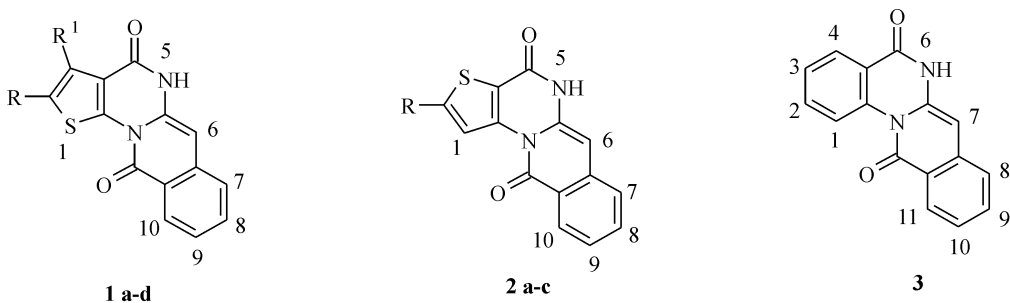
Сравнительный анализ свойств позиционных изомеров и объяснение их различий — малоизученная область в химии гетероциклов. Если на примере различий простейших веществ типа индол-изоиндол [1] всё более менее понятно, то в случае более сложных гетероциклических систем их констатация и тем более объяснение — задача будущего.

С целью развития этой области нами исследованы производные 4Н-тиено[3',2':5,6]- и -[2',3':5,6]пиримидо[1,2-*b*]изохинолинов ряда 1 и 2, а также 6,12-дигидро-5Н-изохино[2,3-*a*]хиназолин-5,12-дион (3). Настоящая работа является продолжением наших исследований в области тиенопиридинов и хиназолонов [1] (схема).

В табл. 1 приведены данные спектров ЯМР Н<sup>1</sup>. Если в области резонанса протонов изохинолоно-

вой части тетрацикла у сравниваемых веществ весьма много подобного, то в области поглощения протонами тиофенового фрагмента наблюдаются основные различия. Обращает на себя внимание положение резонанса Н-1 в соединениях 2а-с [8,68-8,97 м.д.] и 3 [9,24 м.д.]. У незамещенного тиофена химсдвиг аналогичного β-протона наблюдается при 7,04 м.д. Наблюдаемый сильный диамагнитный сдвиг порядка Δ 1,8 м.д. у наших соединений обусловлен пространственной сближенностью в одной плоскости указанного протона и карбонильной группы при C(11). Еще больший сдвиг в слабые поля наблюдался при резонансе протона Н-1 у соединения 3. Здесь Δ достигает значений в 2.2 м.д. В целом данные ЯМР свидетельствуют, что у позиционных изомеров 1 и 2 в схожих структурных фрагментах заметных

\* Сообщение 32 см. [1]



**1 a** R=R<sup>1</sup>=Me; **b** R+R<sup>1</sup>=[CH<sub>2</sub>]<sub>3</sub>; **c** R+R<sup>1</sup>=[CH<sub>2</sub>]<sub>4</sub>; **d** R=H, R<sup>1</sup>=Ph  
**2 a** R=H; **b** R=4'CIC<sub>6</sub>H<sub>4</sub>; **c** R=4'FC<sub>6</sub>H<sub>4</sub>

Схема

различий в резонансе протонов C<sub>(6)</sub>-H [6.26-6.34 м.д.] и N<sub>(6)</sub>-H [11.71-12.04 м.д] нет.

В табл. 2 приведены характеристические полосы поглощения соединений **1**, **2** и **3** из спектров ИК. Они дают возможность идентифицировать присутствие изохинолонового и пиридинового фрагментов по частотам валентных колебаний νC=O и δC=C-H. Значения упомянутых частот весьма близки между собой и не позволяют определить по ИК-спектрам однозначные критерии идентификации позиционных изомеров типа **1** и **2**.

Нами проведено сравнение электронных свойств позиционных изомеров 2,3-диметил-4H-тиено[3',2':5,6]-пиirimидо[1,2-*b*]изохинолин-4,11(5*H*)-диона (**1a**), 4H-тиено[2',3':5,6]пиirimидо[1,2-*b*]-изохинолин-4,11(5*H*)-диона (**2a**) и 6,12-дигидро-5*H*-изохино[2,3-*a*]хиназолин-5,12-диона (**3**). Был проведен квантовомеханический расчет электронного строения указанных структур с помощью полуэмпирического метода ZINDO/S из пакета [1]. Поскольку указанный метод специально параметризован для прогнозирования электронных спектров, его результаты сравнивали с экспериментально наблюдаемыми. Анализ полученных канонических МО позволил нам разобраться в природе электронных переходов, распределении электронной плотности в основном и возбужденном состоянии, предоставляющих выход на статические индексы реакционной способности.

Как правило, введение в структуру гетероатома сопровождается появлением в распределении МО несвязанных *n*-орбиталей. Причем часто энергия последних выше, чем энергия σ и π орбиталей и, следовательно, первым переходом, как правило, становится *n*→π\* или *n*→σ\* переход. Энергии несвязанных МО соединений **1a**, **2a**, **3** по данным расчета расположены низко, “глубоко”, и как следствие, энергетический зазор между ними и НСМО значителен, что определяет положение λ<sub>макс</sub> *n*→π\* перехода отнюдь как не самого длинноволнового. Поэтому возможность интерпретации высших переходов как переходов, относящихся к *n*→π\* типу, исключается.

Расчеты свидетельствуют, что полосы выше 260 нм обусловлены π→π\* переходами между тремя ВЗМО и двумя (или тремя в зависимости от молекулы) вакантными НСМО. Причем НСМО-2 (рис. 1) принимает участие в сравнительно более коротковолновых переходах. Обращает на себя внимание плотность расположения как связывающих, так и разрыхляющих МО. Например, если в структуре **3** зазор между тремя НСМО приблизительно одинаков, то можно заметить, что в структуре **2a** НСМО-1 находится ближе к НСМО-0, а в структуре **1a** — к НСМО-2. Из анализа расположения ВЗМО и НСМО можно заметить их плотное расположение, что допускает возможность “примешивания” к анализированной поло-

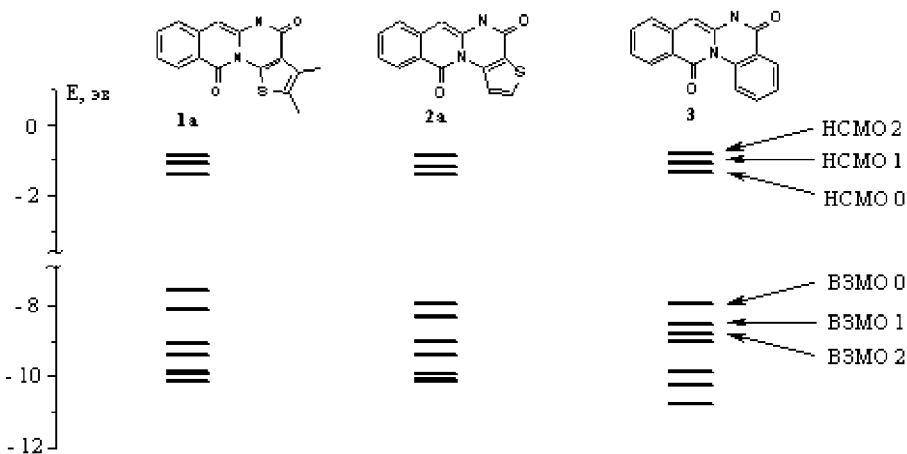


Рис. 1. Размещение орбиталей молекул **1a**, **2a** и **3**.

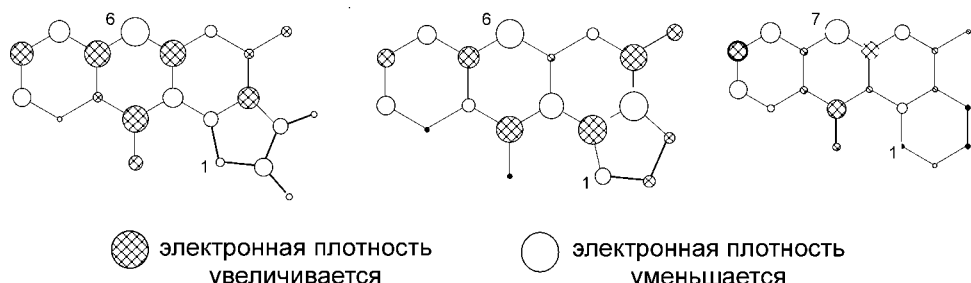


Рис. 2. Изменение электронной плотности в молекулах 1а, 2а и 3 при электронном переходе  $S_0 \rightarrow S_1$ . Диаметр круга пропорционален величине изменения.

се перехода иных близких по энергии. Такое “при-  
мешивание” отвергает наличие в эксперименталь-  
ном спектре четко выраженных полос поглоще-  
ния, отстоящих друг от друга на значимых рассто-  
яниях и проявление спектра в виде огибающей без  
особых экстремумов.

В случае соединения 3 переходы должны про-  
исходить между тремя ВЗМО и тремя НСМО.  
Первый из них является чистым ВЗМО-0  $\rightarrow$   
НСМО-0 переходом. Второй — смесью ВЗМО-0  
 $\rightarrow$  НСМО-1 и ВЗМО-0  $\rightarrow$  НСМО-2. Третий —  
ВЗМО-0  $\rightarrow$  НСМО-2 и ВЗМО 1  $\rightarrow$  НСМО 1.  
Четвёртый — ВЗМО-1  $\rightarrow$  НСМО-1 и ВЗМО-2  
 $\rightarrow$  НСМО-1. Из расчетов следует, что переходы с  
ВЗМО-2 могут наблюдаться не выше 305 нм. Наи-  
большую интенсивность имеют четвёртый и пя-  
тый переходы.

В случае с соединением 2а расчеты предсказы-  
вают в ближнем ультрафиолете 5 первых перео-  
дов. Однако разница энергий НСМО-0 и НСМО-  
1 здесь меньше, чем в случае с соединением 3 и  
следовательно первый наблюдаемый переход буд-  
ет смесью ВЗМО-0  $\rightarrow$  НСМО-0 и ВЗМО-0  $\rightarrow$   
НСМО-1 трансферов, а участие НСМО-2 в пяти  
высших переходах не предполагается. Переходы  
второй и третий — самые интенсивные.

В случае соединения 1а также предвидится 5  
переходов, но особенность их состоит в том, что  
НСМО-1 находится ближе к НСМО-2, чем к  
НСМО-0. Интенсивными переходами есть пер-  
вый, третий и пятый, а второй и четвёртый имеют  
интенсивность на порядок ниже.

Характер перераспределения электронной плот-  
ности в анализируемых молекулах при возбужле-  
нии можно продемонстрировать на примере по-  
ляризации первого перехода (рис. 2). При погло-  
щении кванта энергии электронная плотность на  
атоме углерода  $C(6)$  всегда уменьшается, тогда как  
на атоме углерода в составе карбонильной группы  
увеличивается. Также можно отметить, что в мо-  
лекуле 3 перераспределение электронной плот-  
ности происходит в основном в изохинолиновом  
фрагменте, тогда как в хиназолиноновом элек-  
тронная плотность на атомах практически не ме-  
няется. Отличие перераспределения электронной  
плотности в молекулах 1а и 2а от молекулы 3 в  
том, что оно происходит по всему каркасу, а не  
по локализованным фрагментам. Распределение  
электронной плотности даёт возможность пред-  
видеть, что наиболее реакционноспособным цен-  
тром в реакциях электрофильного присоединения  
есть 7 положение в молекуле 6,12-дигидро-5Н-

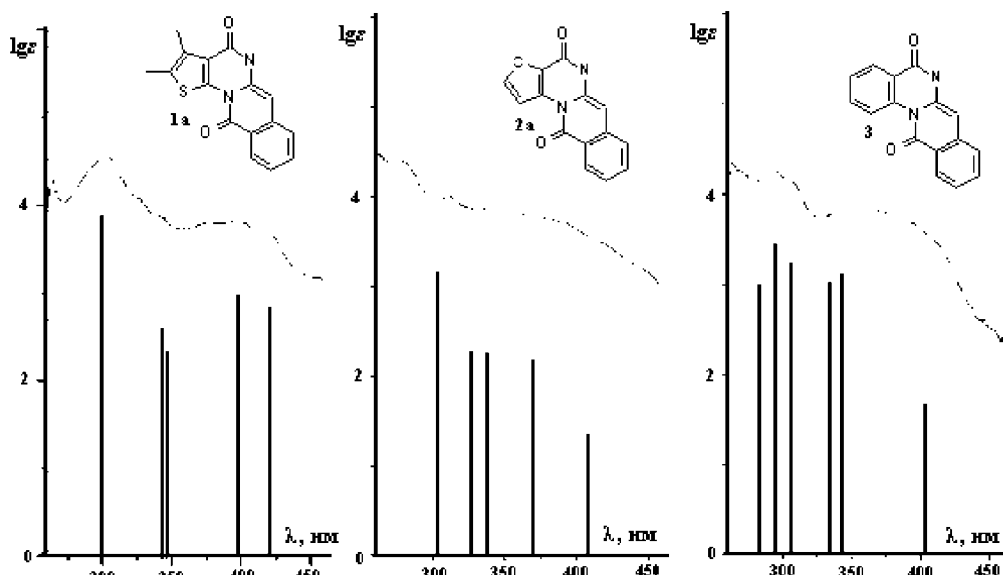


Рис. 3. Экспериментальные и расчетные электронные спектры молекул 1а, 2а и 3. Высота линии в теоретическом спектре пропорциональна силе осциллятора перехода (на теоретическом спектре отображено только пять высших переходов).

Таблиця 1

## Спектральные характеристики синтезированных веществ

№	Спектры ЯМР $^1\text{H}$ , $\delta$ , м. д. (J, Гц)									
	Позиция резонирующей группы (атома)									
<b>1a</b>	-	s 2.41 (3H)	s 2.36 (3H)	-	s 11.71 (1H)	s 6.30 (1H)	d 7.50 (1H) ( $^3\text{J}$ =8.01)	t 7.62 (1H) ( $^3\text{J}$ =7.61)	t 7.32 (1H) ( $^3\text{J}$ =7.61)	d 8.22 (1H) ( $^3\text{J}$ =8.41)
<b>1b</b>	-	m 2.99-2.93 (6H)	-	s 11.83 (1H)	s 6.34 (1H)	d 7.53 (1H) ( $^3\text{J}$ =8.01)	t 7.65 (1H) ( $^3\text{J}$ =7.61)	t 7.35 (1H) ( $^3\text{J}$ =7.61)	d 8.24 (1H) ( $^3\text{J}$ =8.01)	
<b>1c</b>	-	m 1.90-1.80 (4H) m 2.77-2.75 (2H) m 2.93-2.91 (2H)	-	s 11.71 (1H)	s 6.26 (1H)	d 7.51 (1H) ( $^3\text{J}$ =7.61)	t 7.63 (1H) ( $^3\text{J}$ =7.61)	t 7.31 (1H) ( $^3\text{J}$ =7.61)	d 8.14 (1H) ( $^3\text{J}$ =8.01)	
<b>1d</b>	-	s 9.00 (1H)	d 7.78 (2H,2') m 7.51 (3H, $^3\text{J}$ ,4')	-	s 12.00 (1H)	s 6.28 (1H)	m 7.51 (1H)	t 7.64 (1H) ( $^3\text{J}$ =7.61)	t 7.33 (1H) ( $^3\text{J}$ =7.61)	d 8.24 (1H) ( $^3\text{J}$ =8.01)
<b>2a</b>	d 8.68 (1H) ( $^3\text{J}$ =5.21)	d 8.17 (1H) ( $^3\text{J}$ =5.21)	-	-	s 12.03 (1H)	s 6.27 (1H)	d 7.47 (1H) ( $^3\text{J}$ =7.61)	t 7.65 (1H) ( $^3\text{J}$ =8.01)	t 7.33 (1H) ( $^3\text{J}$ =8.01)	d 8.21 (1H) ( $^3\text{J}$ =8.01)
<b>2b</b>	s 8.97 (1H)	s 7.77 (2H, $^3\text{J}$ ) s 7.51 (2H,2')	-	-	s 12.04 (1H)	s 6.26 (1H)	m 7.51 (1H)	s 7.63 (1H)	s 7.32 (1H)	s 8.19 (1H)
<b>2c</b>	s 8.92 (1H)	m 7.80 (2H, $^3\text{J}$ ) m 7.33-7.29 (2H,2')	-	-	s 12.03 (1H)	s 6.26 (1H)	d 7.49 (1H) ( $^3\text{J}$ =6.41)	t 7.63 (1H) ( $^3\text{J}$ =6.01)	m 7.33-7.29 (1H)	d 8.19 (1H) ( $^3\text{J}$ =6.41)
<b>3*</b>	d 9.24 (1H) ( $^3\text{J}$ =7.21)	t 7.74 (1H) ( $^3\text{J}$ =6.81)	m 7.48 (2H)	d 8.10 (1H) ( $^3\text{J}$ =6.01)	s 11.87 (1H) {6}	s 6.20 (1H) {7}	m 7.48 (2H) {8}	t 7.63 (1H) ( $^3\text{J}$ =5.61) {9}	t 7.32 (1H) ( $^3\text{J}$ =5.61) {10}	d 8.19 (1H) ( $^3\text{J}$ =6.41) {11}

\* - Цифрами в {} обозначены порядковые номера атомов в молекуле согласно принятой номенклатуры.

изохинолино[2,3-*a*]хиназолин-5,12-диона (**3**) и положение 6 в молекулах 4Н-тиено[2',3':5,6]пиrimидо-[1,2-*b*]изохиназолин-4,11-диона (**2a**) и 4Н-тиено[3',2':5,6]пиrimидо[1,2-*b*]-изохиназолин-4,11-диона (**1a**) (которое по существу является 4 положением изохинолинового фрагмента). Оправление или подтверждение полученных результатов и будет являться целью наших дальнейших исследований в этой области.

На рис. 3 представлены экспериментальные и расчетные электронные спектры молекул **1a**, **2a** и **3**. Их рассмотрение позволяет заключить, что:

- природа длинноволновых полос поглощения  $\lambda_{\text{макс}}$  в молекулах **1a**, **2a**, **3** не имеет отношения к  $n \rightarrow \pi^*$  переходам, а обусловлена сложной смесью трансферов между ВЗМО и НСМО;

экспериментальные спектры исследованных веществ имеют низко интенсивную не структурированную полосу в области 300-450 нм вследствие того, что ВЗМО находятся достаточно близко и поэтому переходы часто являются смешанными.

С целью оценки биологического потенциала, описанных в работе веществ, был произведен расчет спектра биологической активности. В расчетах была использована программа PASS (Prediction of Activity Spectra for Substances) [1, 2, 3]. В основу выборки активных соединений положена многоуровневая оценка ближайшего окружения атомов и сравнение рассчитанных 2D дескрипторов с набором таковых, отвечающих либо высокой активности, либо ее отсутствию. Конечный результат представляется программой как вероятность проявления соединением активности ( $p_a$ ) и неактивности ( $p_i$ ) в долях единицы. Был рассчитан спектр для более чем 3000 типов активности для каждого соединения, порогом активности было выбрано  $p_a > 0.8$ ;  $p_i < 0.2$ . Из анализа результата расчета неожиданным оказалось, что в указанные пределы вовсе не попало соединение **3**. А вот тиофеновые производные обоих типов показали весьма высокие результаты. Если соединениям со структурой 1 предсказываются высокие показатели в лечении стенокардии, то соединению **2a** — свойства агониста дофаминовых рецепторов  $D_4$  [ $p_a = 0,907$ ,  $p_i = 0,005$ ]\*\*. Наивысшая активность в лечении ишемической болезни сердца предска-

Таблица 2

## Данные ИК-спектров\*

Формула соединения	$\nu_{\text{C=O}}$ (пиримидон)	$\nu_{\text{C=O}}$ (изохинолон)	$\nu_{\text{C=C}}$	$\delta_{\text{C-C-H}}$
<b>1a</b>	1667		1615	840
<b>1b</b>	1666		1613	837
<b>1c</b>	1654	1690	1614	826
<b>1d</b>	1677	1700*	1621	826
<b>2a</b>	1671		1625	852
<b>2b</b>	1678	1700*	1626	822
<b>2c</b>	1681	1700*	1628	822
<b>3</b>	1674		1627	857

\* - частоты приведены в  $\text{cm}^{-1}$

\*\* Локализованы в коре головного мозга, мозжечке и среднем мозгу. Стимуляция  $D_4$  рецепторов уменьшает уровень цАМФ и потенциал зависимых токов ионов кальция, увеличивает калиевую проницаемость плазматических мембран.

зывається для соединения **1d** [ $p_a = 0,909$ ,  $p_i = 0,007$ ]. Производные **1b** и **1c** ему несколько уступают, но оба превышают установленный нижний предел с одинаковым индексом активности [ $p_a = 0,844$ ,  $p_i = 0,009$ ].

### Экспериментальная часть

Спектры ЯМР  $^1H$  и  $^{13}C$  синтезированных соединений **1**, **2** и **3**, эксперименты по двумерной спектроскопии ЯМР  $^1H$  COSY, а также гетероядерные корреляционные спектры HMQC и HMBC зарегистрированы на спектрометре Varian Mercury-400 (400 МГц для  $^1H$  и 100 МГц для  $^{13}C$ ). Все двумерные эксперименты проводились с градиентной селекцией полезных сигналов. Время смешивания в импульсных последовательностях соответствовало  $^1J_{CH} = 140$  Гц и  $^{2-3}J_{CH} = 8$  Гц. Количество инкрементов в спектрах COSY и HMQC составило 128, а в спектрах HMBC — 400. Во всех случаях растворитель ДМСО-*d*<sub>6</sub>, внутренний стандарт ТМС. Химические сдвиги в м.д., шкала δ,  $KCCB$  (J) в Гц. Принятые сокращения: s — синглет, сигнал, d — дублет, t — триплет, q — квартет, m — мультиплет.

ИК-спектры соединений в таблетках CsI или KBr зарегистрированы на приборе Pay-Unicam SP3-300 и Nicolet Nexus; приведены частоты валентных колебаний ν в см<sup>-1</sup>.

УФ-спектры  $5 \cdot 10^{-5}$  М растворов соединений зарегистрированы на спектрофотометре Specord M40 в DMF. Принятые сокращения: \* — перегиб, плечо.

Температуры плавления синтезированных веществ измерены в пирексовых капилярах в приборе Тиле и не подвергались коррекции.

**2,3-Диметил-4Н-тиено[3',2':5,6]пирамидо[1,2-*b*]изохинолин-4,11(5Н)-дион (1a)** получен с Т.пл. 325°C согласно методике [3]. УФ-спектр (DMF),  $\lambda_{max}$ , нм ( $lg \epsilon$ ): 293\*, 303 (4.56), 325\*, 338\*, 376 (3.80), 396 (3.83), 417 (3.71).

### Литература

1. Задорожний А.В., Ковтуненко В.А., Туров А.В., Кучеренко Т.Т. // ХГС. — 2008. — №7. — С. 1053-1061.
2. Ковтуненко В.А., Войтенко З.В., Шептун В.Л. и др. // ХГС. — 1984. — №6. — С. 1497.
3. HyperChem Professional 5.1; Hypercube ? Inc. 2002.
4. Filimonov D.A., Poroikov V.V., Borodina Yu.V., Gloriozova T. // J. Chem. Inf. Comput. Sci. — 1999. — №39. — С. 666-670.
5. Poroikov V.V., Filimonov D.A., Borodina Yu.V. et al. // J. Chem. Inf. Comput. Sci. — 2000. — №40. — С. 1349-1355.
6. Poroikov V.V., Filimonov D.A. // J. of Computer-Aided Molecular Design. — 2002. — №16. — С. 819-824.

Надійшла до редакції 06.11.2008 р.

**2,3-Дигидро-1Н,4Н- циклопента[4',5']тиено[3',2':5,6]пирамидо[1,2-*b*]-изохинолин-4,11(5Н)-дион (1b)** получен с Т.пл. 305°C согласно методике [3].

**8,9,10,11-Тетрагидро-7Н-бензо[1]тиено[3',2':5,6]пирамидо[1,2-*b*]-изохинолин-4,14(6Н)-дион (1c)** получен с Т.пл. 325°C согласно методике [3].

**3-Фенил-4Н-тиено[3',2':5,6]пирамидо[1,2-*b*]изохинолин-4,11(5Н)-дион (1d)** получен с Т.пл. 300°C согласно методике [3].

**4Н-Тиено[2',3':5,6]пирамидо[1,2-*b*]изохинолин-4,11(5Н)-дион (2a)** получен с Т.пл. 290°C согласно методике [3]. УФ-спектр (DMF),  $\lambda_{max}$ , нм ( $lg \epsilon$ ): 276 (4.41), 310 (4.01), 336 (3.87), 353 (3.86), 373 (3.80), 388\*, 415\*.

**2-(4-Хлорофенил)-4Н-тиено[2',3':5,6]пирамидо[1,2-*b*]изохинолин-4,11(5Н)-дион (2b)** получен с Т.пл. 320°C согласно методике [3].

**2-(4-Флуорофенил)-4Н-тиено[2',3':5,6]пирамидо[1,2-*b*]изохинолин-4,11(5Н)-дион (2c)** получен с Т.пл. 300°C согласно методике [3].

**5Н-Изохино[2,3-*a*]хиназолин-5,12(6Н)-дион (3)** получен с Т.пл. 305°C согласно методике [3]. УФ-спектр (DMF),  $\lambda_{max}$ , нм ( $lg \epsilon$ ): 270 (4.26), 284\*, 294 (4.28), 306\*, 361 (3.84).

### Выводы

1. Позиционные изомеры рассмотренного типа мало отличаются по электронным свойствам. Положение атома серы в тетрациклической системе практически не влияет на распределение электронной плотности в изохинолоновом фрагменте тетрацикла. Очевидно делокализация электронной плотности по тетрациклической системе настолько значительна, что локальные возбуждения, связанные с изменением положения атомы серы, не могут оказать на нее заметного влияния.

2. Расчеты предсказывают биологическую активность лишь для структур, в которых присутствует дополнительный атом серы в квазиароматической тетрациклической системе.